

植物を利用した水質浄化に関する基礎的考察

A FOUNDATION OF CONSIDERATION ON WATER PURIFICATION USING AQUATIC PLANTS

鈴木 淳**、江成 敬次郎*
Jun SUZUKI, Keijiro ENARI

ABSTRACT; This report describes studies of the function of water purification using aquatic plants and its mechanisms. The purposes of this study are to consider the mechanisms for the purification and the material balances of nitrogen and phosphorus in the rhizosphere using Indian Rice (*Zizania latifolia* Trucz.). The results obtained in this study are as follows:

1. Eliminated ammonium nitrogen	17.8 g
·Adsorption to sand	7.6 g
·Absorption by aquatic plant + Nitrification	10.3 g
2. Eliminated phosphorus	0.79g
·Adsorption to sand	0.35g
·Absorption by aquatic plant	0.44g

It was confirmed that nitrification occurred in the rhizosphere. But the quantitative assessment of nitrification is the subject for the future. From these results, the relationship between the water purification and the growth of aquatic plant was confirmed in some degree.

KEYWORDS; water purification, aquatic plants, rhizosphere, Indian Rice, nitrogen, phosphorus

1. はじめに

窒素、リンなどの栄養塩類を含む生活排水等の流入による湖沼などの閉鎖性水域における富栄養化は、依然として解決が必要とされる問題である。このような富栄養化に対する改善策やその防止策として、植物を利用した栄養塩類の除去法がある。この方法の原理としては、植物にとって必須の栄養物質である窒素やリンを植物によって水中から取り除かせるというものである。また、それと同時に、アシなどの抽水植物では、その根の近傍で、硝化・脱窒作用が生じているという報告もある¹⁾。最近では、その適用事例も多く、その効果が報告されているが、現在の段階では水生植物による水質浄化の定量的評価やそのメカニズムについてはまだ確認されていない。

そこで本報告では、水生植物（マコモ）の栽培実験を行い、根圏における水質変化を測定し、水生植物による水質浄化の定量的評価とメカニズムについて検討した。

2. 実験方法

本実験では、植物による水質浄化メカニズムやその定量的評価のために、実際に人工的な廃水を流し、マコモという水生植物を栽培し、その根圏において水質がどのように変化するかを測定した。

実験装置は、図1のようなものを製作した。この装置は、80ℓのポリバケツに9ヵ所穴を開けたものである。そこに採水器を差し込み、根の近傍の水を採水した。また、実験で用いられる流入水（塩化アンモニウム（NH₄Cl）とリン酸第一カリウム（K₂H₂P₂O₇）の混合液）は、1日に8ℓの割合で実験装置の下方から上方へ連続的に供給される。採水器は、中心部と周辺部に配置し、周辺部の高さは左右3cmずらして配置している。また、図に示すように、実験装置全体を中心部と4つの周辺部の5つの部分に分けて以下の考察を行った。

実験は、6月14日～11月13日の間に行った。流入水濃度は、6月14日～9月22日までがNH₄-Nで5mg/l, PO₄-Pで0.3mg/l、9月24日～11月13日までがNH₄-Nで5.0mg/l, PO₄-Pで3mg/lである。ここでの考察は、9月24日～11月13までのデータを用いて行われている。

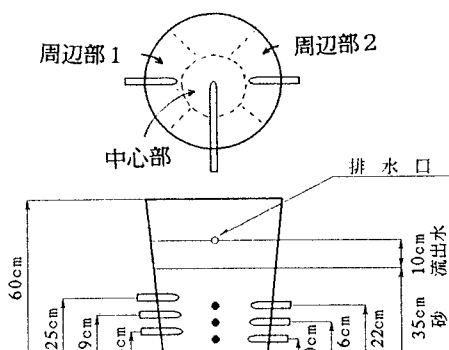


図1. 実験装置

*東北工業大学土木工学科
#現在 建設省東北地方建設局

Department of Civil Engineering, Tohoku Institute of Technology
Tohoku Regional Construction Bureau, Ministry of Construction

3. 水生植物（マコモ）

3. 1 マコモについて

マコモ(図2)は北アメリカのワイルドライス(Wildrice)の東アジアにおける対応種で、もちろん穎果(瘦果の一つ。成熟後、果皮が乾燥し、種皮と合着して離れず、1枚のようになり、中の種子は1個の果実となる。稻・麦などのようなイネ科植物の果実の類。穀果。; 広辞苑より)を食用にすることはできるが、野生植物であるため農作用として取り扱えないことと穎果の取り入れが困難のため飢饉のときの救荒食糧として利用されたことはあっても実用に供されたことはない。

また、マコモはヘドロ状の立地を好むという特性がある。湖沼のうち、富栄養湖にはその状態に見合ったヘドロ状の環境ができるくるが、そのような立地をむしろ積極的に好んで生育するのである。大型の抽水植物の中で、このようにヘドロ状環境を好む植物には、ほかにガマやフトイがあるが、これらはマコモに比べて物質生産量が少ない。

3. 2 マコモによる水質浄化の伊豆沼での事例³⁾

宮城県の伊豆沼においてマコモは、湖沼環境を維持する上で重要な植物であることが最近の調査・研究により次第に明らかになってきた。その役割は、次のようなものがある。

1. 遠浅な水辺環境に広くみられる抽水植物帶の最も主要な植物
 2. 湖面の水質、底質に関わる浄化植物
 3. ハクチョウやヒシクイなどの主要な食餌植物
 4. 鳥や昆虫などをはじめとする動物の生息環境
 5. 湖沼観を維持する構成要素

このような役割のうち、2、3の役割を活用して、水鳥によって汚濁された水の浄化にマコモを利用する試みが、伊豆沼で行われている。その結果については、別に報告している⁴⁾。本報告は、こうした現場の試みに関連した実験でもある。

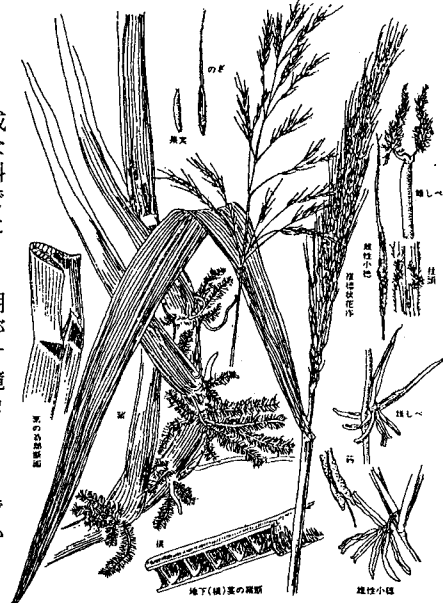


図2. マコモの詳細図²⁾

4. 結果と考察

4. 1 マコモの成長と根圏の水質変化

4. 1. 1 マコモの成長について

マコモの草丈と経過日数との関係を図3に、茎数と経過日数との関係を図4にそれぞれ示す。

最初に、マコモの草丈について考察する。実験を始めたとき（6月14日）のマコモの草丈は、102.8cmであり、その後、急成長をして、2カ月後の8月16日には、150.4cmまで成長しており、2カ月でおよそ50cmも成長したことになる。その間の図中の動きをみると、初日から30日目までと、それから60日目までの二段階で成長しているのがわかる。80日目付近で最も草丈が高くなり（152.2cm）、80日目付近から120日目付近までは、ほとんど変化がないことがわかる。その後は、徐々に草丈が低くなつておらず、だんだんマコモの上部器官が衰退していくのがわかつた。

次に、マコモの茎数について考察する。マコモの最初の茎数は36本であり、それが35日目付近まで減少し、7月19日には21本となった。これは、おそらく、マコモを移植したときに、茎が折れたか、あるいは、移植後の土に根付いていなかつたので、その間に枯れたものと考えられる。しかし、その後は順調に茎数を増やしていく、増加傾向を示していることがわかる。また、80日目付近の値が、他の値に比べて非常に高く、その後に急激に下がっているので、この値は、測定ミスであると考えている。その後、90日目(9月中旬)から135日目(10月下旬)頃までは、あまり変化

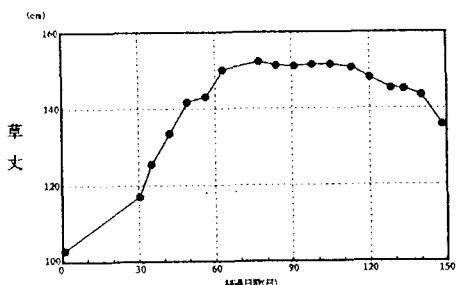


図3. マコモの草丈の経日変化

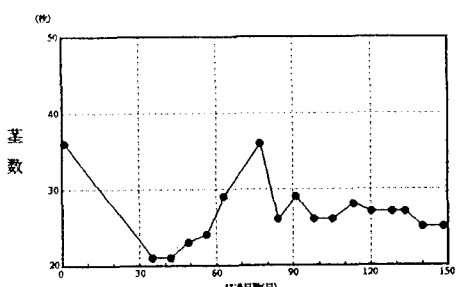


図4. マコモの葉数の経日変化

しておらず、それ以降やや減少しているようだ。

このような結果より、マコモの上部器官は、8月中旬ないし下旬まで成長を続け、その後は、草丈、茎数ともほとんど成長しなくなり、10月中旬頃から枯れ始めるという成長過程をたどると考えられる。

また、写真及び肉眼による観察結果より、マコモの根の広がりについては、周辺部1については、表面的には根や根毛（水分や養分を吸収すると考えられるもの）があるかどうかわからないが、地下茎（茎のようなもので、そこからマコモの茎が発芽する）がかなり発達していた。中心部については、多少の根や根毛はあるが、あまり多くなく、周辺部1と同様に地下茎が発達していた。そして、周辺部2については、根や根毛が多く、密集しており、根が実験装置解体後もその形を保っていた。

4. 1. 2 根圈における水質変化

水質の変化としては、高さ方向による違いと場所による違いがあるので、ある場所の高さによる違いを検討し、次に、ほぼ同じ高さにおける濃度変化を例にとって場所の違いを考察する。ただし、ここでは、実験期間の後半を対象にしている。

まず、周辺部1を例として取り上げ、高さによる違いを検討する。図5に、周辺部1の採水地点No.1～No.3におけるNH₄-N濃度と経過日数との関係を示す。この図より、No.3→No.2→No.1という順番で濃度が上がっていることがわかる。これは、No.3が流入源に最も近く、流入水は下から上に向かって流れているためである。この装置の砂層の間隙（間隙率38%）と流入量（8 l/day）から算定される水理学的滞留日数は、約3.8日であり、高さの違いから推定される濃度上昇開始日の差は、約1日となる。この日数と比較すると実際の差は約10日であり、10倍程度大きい。この差は、砂に対するNH₄-Nの吸着によって生ずると考えられる。つまり、No.3付近に流入NH₄-Nが到達すると、No.3付近の砂にNH₄-Nが吸着する。吸着が継続すると流入水が、No.2、No.1に到達してもそこでは濃度が上がらない状態になっている。その後、No.3付近の砂が飽和状態に達すると、No.2でも同様の変化が生じる。このようなものが高さによる違いのメカニズムとして考えられる。また、PO₄-Pでも同様な結果が得られている。

次に、各部の違いを検討するために、各部の一番上の採水地点を例にとり考察する。図6は、採水地点No.1、No.4、No.7におけるNH₄-N濃度と経過日数との関係を示したグラフである。この図より、中心部（No.4）が早い日数で濃度上昇し始め、周辺部1（No.1）と周辺部2（No.7）が続いていることがわかる。また、図7には、NO₂-N濃度と経過日数との関係を示した。この図より、NO₂-Nについては、周辺部1（No.1）がやや大きいもののそれほど大きな違いはない、同様な傾向を示していることがわかる。NO₃-Nについては、図8に示してある。この図より、全体的に変動が大きいが、NO₂-Nと同様に、NO₃-Nは、周辺部1（No.1）がやや大きく、次いで中心部（No.4）、周辺部2（No.7）となっているが、各部ともほぼ同様な変化をしていることがわかる。PO₄-Pについては、図9に示してあるが、これもNO₃-Nと同様に、中心部（No.4）、周辺部2（No.7）と比べて、周辺部1（No.1）がやや大きいことがわかる。

以上のような結果をまとめると、周辺部1（No.1）では、NO₂-N、NO₃-N、PO₄-Pが高いことが、そして、中心部（No.4）については、周辺部1（No.1）、周辺部2（No.7）と比べると、NH₄-Nが相当高いことがわかる。周辺部2（No.7）については、全体的に各濃度が低いことがわかる。このように、周辺部2（No.7）が全般的に各濃度が低いのは、最も根や根毛が発達している部分であるためであると考えられる。

4. 2 硝素、リンの物質収支について

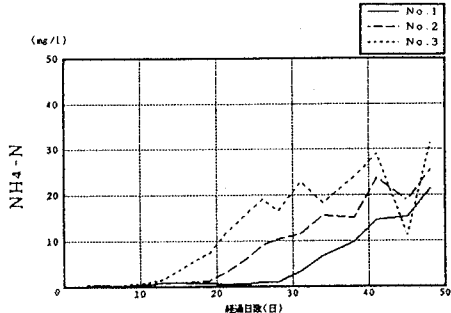


図5. NH₄-N濃度の経日変化

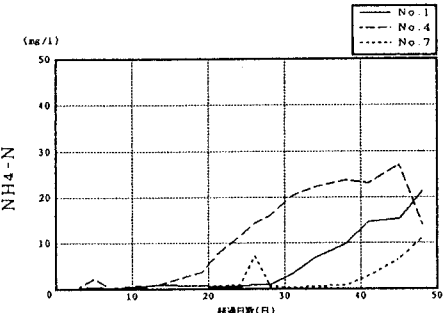


図6. NH₄-N濃度の経日変化

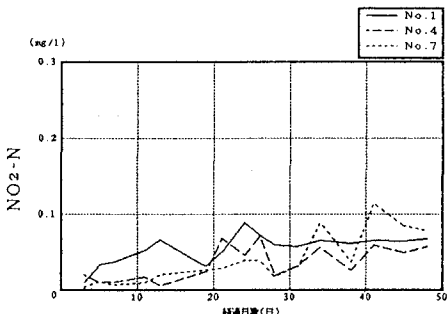


図7. NO₂-N濃度の経日変化

本実験の条件における窒素の消長としては次のようなことが考えられる。NH₄-Nの減少としては、硝化反応、砂による吸着、マコモによる吸収があり、NO₃-Nの増加としては、硝化によるもの、減少分としては、脱窒反応、マコモによる吸収がある。また、リンについては、砂への吸着、マコモによる吸収が考えられる。

そこでまず、本実験に使用した砂の吸着特性を、NH₄-N（塩化アンモニウム）とPO₄-P（リン酸第一カリウム）について調べた。回分吸着実験から、次のような吸着等温式が得られた。

$$NH_4-N : q = 3.356 \times 10^{-3} c^{0.95} \quad (1)$$

$$PO_4-P : q = 2.674 \times 10^{-3} c^{0.78} \quad (2)$$

ここで、qは、砂1g当りの平衡吸着量(mg)、cは、吸着質の初期濃度(mg/l)を示す。

そこで、この吸着等温式を用いて、本実験装置の砂に対する吸着量を求めた。その結果、流入濃度NH₄-N:5.0mg/l、PO₄-P:3mg/lを初期濃度と考えると、実験装置全体では、NH₄-N:7.6g、PO₄-P:0.33gの吸着量が得られた。

4. 2. 1 窒素の吸支

図6をもとに、実験期間中のNH₄-Nの累積除去量を求めるところ、次のようになる。

周辺部1 (No.1) : 3.6g,

中心部 (No.4) : 3.0g,

周辺部2 (No.7) : 3.8g

この除去量のうち、砂への吸着量を差し引くと、次のようになる。なお、各部での砂の吸着量は、砂層全体を中心部と4つの周辺部の5つに等分して考え、全体の1/5とした。

周辺部1 (No.1) : 2.1g, 中心部 (No.4) : 1.5g,

周辺部2 (No.7) : 2.3g

この除去量が、マコモによる吸収と硝化によるものと考えられる。

以上のことより、水の流れも関係すると考えられるが、周辺部2での吸着以外の除去が大きいことがわかる。なお、周辺部2は、根毛が発達していた部分である。

次に、マコモの成長量から窒素の吸収量を算定する。本実験で使用したマコモの成長量は、最初は、1.59kgであったが、最終的には、2.47kgまで増加した。この値とマコモの窒素含有率(2.06%)から吸収量を計算すると、18.1gという値が得られた。しかし、この値は、150日間の成長である。ここでは、50日間の吸収量を求める必要があるが、成長はどの期間も等しいと仮定し、窒素の吸収量を全体の1/3とした。つまり、6.0gが吸収されたものとする。ここでも、砂層全体を中心部と4つの周辺部の5つに等分して考えると、各部の窒素吸収量は、1.2gとなる。この値を、先に求めた除去量(砂への吸着は除く)から差し引くと、次のようになる。

周辺部1 (No.1) : 0.9g, 中心部 (No.4) : 0.3g,

周辺部2 (No.7) : 1.1g

つまり、この値が硝化による除去量であると考えることができる。ただし、場所による差は、吸収を一定と考えた場合のことであり、場所によって吸収量が異なるとすれば、硝化量も違ってくる。今回の実験では、これを明確に区分することはできなかった。

4. 2. 2 リンの吸支

窒素と同様に、図9をもとに、実験期間中のPO₄-Pの除去量を求めると、次のようになる。

周辺部1 (No.1) : 0.12g,

中心部 (No.4) : 0.09g,

周辺部2 (No.7) : 0.23g

この除去量のうち、砂への吸着量を差し引くと、次のようになる。

周辺部1 (No.1) : 0.05g,

中心部 (No.4) : 0.02g,

周辺部2 (No.7) : 0.16g

これは、つまり、マコモによる吸収によるものと考えられる。なお、マコモのリン含有率から求めた全吸収量は、0.09gであった。

以上のことより、PO₄-Pについては、中心部 (No.4) では、砂による吸着が大きく、周辺部2 (No.7) では、マコモへの吸収が大きいものと考えられる。

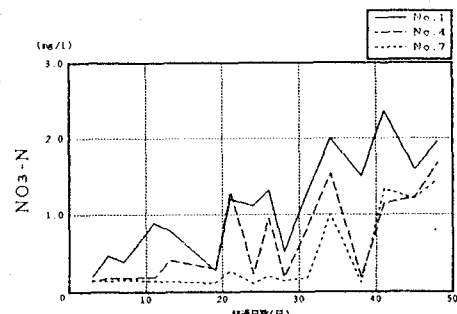


図8. NO₃-N濃度の経日変化

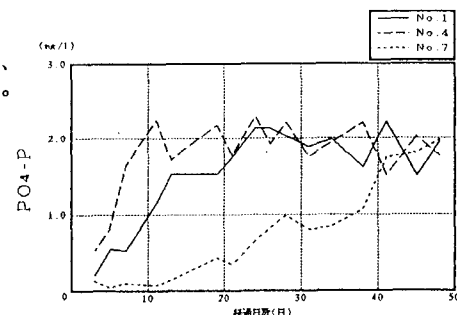


図9. PO₄-P濃度の経日変化

4. 2. 3 根圏における硝化反応についての考察

文献によると、根の近傍では、根を通して酸素が供給され、硝化反応が生じているということが報告されている¹⁾。そこで、マコモの場合には、どの程度の硝化反応が生じているかを調べるために、簡単な実験を行ってみた。まず1つは、アルカリ度の影響を見る実験であり、もう1つは、マコモのない砂だけを用いた場合に、硝化反応が生ずるのか、また、どの程度生ずるかを調べることにした。

その結果、アルカリ度が多い場合に、根の近傍で $\text{NO}_2\text{-N}$, $\text{NO}_3\text{-N}$ が増加しており、マコモのない砂だけの場合に、硝化の進行が遅いという現象が見られた。

今後、詳細に検討する必要があるが、硝化反応の条件を整えることによって、根圏における硝化反応が、より進行する可能性があると考えている。

5.まとめ

本実験の結果を全体としてみると、次のようなことがいえる。

周辺部1については、 $\text{NO}_3\text{-N}$ が多い。これは、周辺部1では、地下茎が多く、多少根もあるため、根の近傍での硝化によって生じた $\text{NO}_3\text{-N}$ が、マコモによって吸収しきれずに残っているためであると考えられる。

周辺部2に関しては、一般的に窒素の全量が少ない。これは、マコモの根の根毛が発達し、それによって供給された $\text{NH}_4\text{-N}$ および生成した $\text{NO}_3\text{-N}$ が、他の場所よりもよく吸収されたためと考えられる。本実験から得られた窒素の収支、リンの収支をまとめると、表1, 2のようになる。

表1. 窒素の累積除去量とその内訳

	除去量	吸着	吸収 + 硝化	吸 収	硝 化
周辺部1	3.6 g	1.5 g	2.1 g (58%)	1.2 g	0.9 g
中心部	3.0 g	1.5 g	1.5 g (50%)	1.2 g	0.3 g
周辺部2	3.8 g	1.5 g	2.3 g (61%)	1.2 g	1.1 g
全 体	17.8 g	7.6 g	10.3 g (58%)	6.0 g	4.3 g

表2. リンの累積除去量とその内訳

	除去量	吸着	吸 収
周辺部1	0.12 g	0.07 g	0.05 g
中心部	0.09 g	0.07 g	0.02 g
周辺部2	0.23 g	0.07 g	0.16 g
全 体	0.79 g	0.33 g	0.44 g

以上のような結果より、場所によって多少の違いはあるが、植物による浄化は、土壤への吸着、根の近くの硝化とその周りでの脱窒、植物体への吸収、微生物によるものなどが考えられ、それらが複雑に重なって起こっているものであることがわかった。そして、根圏の内部でも、根の発達具合によってそれぞれの役割が違ってくることがわかった。このようなことから、植物を利用した水質浄化をより効果的に行わせるためには、今後、根圏での水質変化をより詳細に考察する必要がある。

謝辞： 本実験を行うにあたり、宮城県保健環境センター、並びに伊豆沼・内沼環境保全財団の関係者の協力を得た。ここに感謝の意を表します。また、実際の実験は、東北工大4年生の岩出、加藤、菊池、清野君らの協力も得た。併せて、感謝の意を表します。

参考文献

- 1) 細川他：ヨシ原による水質浄化特性， 港湾技術報告 第30卷第1号 (1991)
- 2) 大滝他：日本水性植物図鑑， 北隆館 (1980)
- 3) 鈴木：植物を利用した水質浄化に関する基礎的研究， 東北工業大学大学院修士論文 (1994)
- 4) 鈴木他：伊豆沼に設置された給餌地システムの

汚濁負荷削減効果についての調査研究，環境システム研究 Vol. 21 (1993)